2A01 NO₃ラジカルの2 v_4 , 3 v_4 - v_4 , v_2 + v_4 - v_4 バンドの赤外分光 Infrared spectroscopy of the 2 v_4 , 3 v_4 - v_4 , v_2 + v_4 - v_4 bands of the NO₃ radical

(岡山大 ª/名古屋大 ʰ/広島市大 °) <u>川口建太郎 ª</u>, 唐健 ª, 藤森隆彰 ʰ, 石渡孝 °、 (Okayama Univ. ª, Nagoya Univ. Hiroshima City Univ. °) K. Kawaguchi a, J. Tang a, R. Fujimori b, T. Ishiwata °

【序】以前(2013 年)、我々は NO_3 radical の基底状態の v_2 振動回転スペクトルを 760 cm⁻¹ 領域に観測し、 $2v_4$ 状態からの摂動を含んだ解析を報告した ¹⁾。しかし、摂動の相手の $2v_4$ 状態については、帰属がされていなかった。本研究では、Zeeman 変調ダイオードレーザー分光の結果を利用して、帰属の手がかりをつかみ、高分解能フーリエ変換型(FT)スペクトル線を解析した。更に v_4 =1 状態からのホットバンド $3v_4$ - v_4 , v_2 + v_4 - v_4 が帰属できた。観測された $3v_4$ はこの分子で帰属された初めての A_1 、状態である。

【実験】フーリエ変換型分光データは以前報告している $^{1)}$ 。ダイオードレーザーでの測定はゼーマン変調法で行い、詳細は Ishiwata et al. $^{2)}$ で報告している。最近、報告したようにゼーマン変調法では \mathbf{v}_2 バンドのスペクトルは低いNの遷移以外は検出されていない $^{3)}$ 。これは遷移の始状態と終状態のゼーマン効果が似ているためである。垂直バンドのゼーマン変調スペクトルパターンは帰属において重要な役割を果たした。本研究で扱うスペクトル線は \mathbf{FT} では弱くしか観測されていないので、スピンダブレットを見いだす点においても必要不可欠であった。

【観測スペクトルと帰属】最近、報告したように、 $2v_4$ バンドはゼーマン変調スペクトルでスピン二重項のペアを見いだすことができ、それにより FT のスペクトルも帰属を進めることができた。R-branch 側では、ゼーマン変調法で4つのKのシリーズが見いだされた。他のKでは v_2 =1 との相互作用で弱くなっていると解釈された(interference effect)。主な分子定数は以前報告したものと大きくは変化していないが、 v_4 =2 状態で ΔK =2, ΔI =-4 のような行列要素が必要になってきている。

図1に示すように760 cm⁻¹付近に 2v₂バンドまた 2v4バンドでも帰属できな い一連のスペクトル線が見 いだされた。ゼーマン変調 スペクトルの下の矢印はス ピン二重項の相手が存在す る方向を示す。二重項分裂 は2v4バンドなどのものよ り大きかった。NO3の振動 構造を考慮して、 3v4 (A₁')-v₄(E')バンドに帰 属した。pP(N,K)の K=1,28 の 109 本の遷移をフィット できた。3v₄(A₁')のエネル ギーは図2に示すように

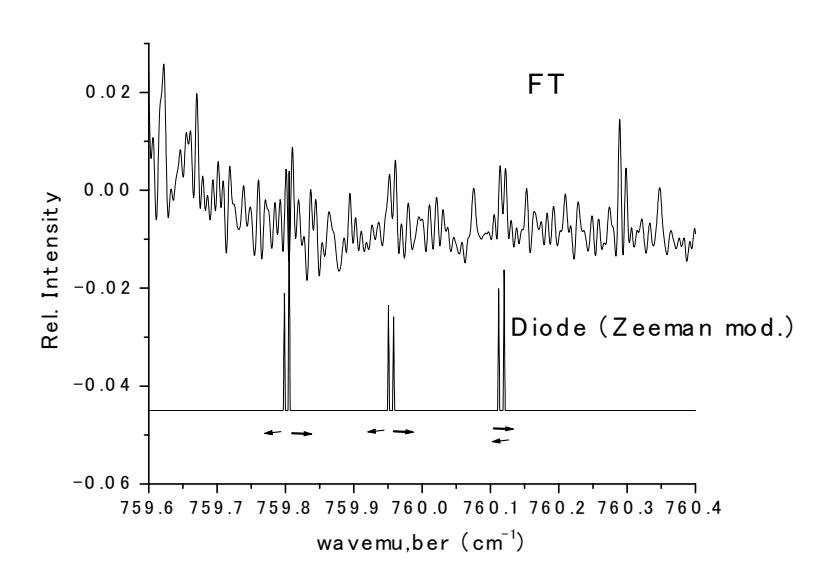


図 1 $3v_4$ - v_4 の FT スペクトルとダイオードレーザーで得られた吸収位置

1130.86 cm⁻¹ と得られた。 $3v_4(E')-v_4(E')$ は以前、基底状態から v_4 =3 (E')への遷移と v_4 =1 への遷移が測定されているので予測可能であるが、FT のスペクトルでは検出できなかった。また、LIFで観測されている v_4 =3 (A_2 ')- v_4 =1 領域(849 cm⁻¹)はダイオードレーザー、FT とも測定範囲外であった。

 $\mathbf{v}_2+\mathbf{v}_4$ - \mathbf{v}_4 ホットバンドでは Q-branch が多くのスペクトル線の重なりとして 759 cm⁻¹に認められた。ゼーマン変調スペクトルで 775 cm⁻¹付近に $2\mathbf{v}_4$ バンドとは異なるスペクトル線が見つかり、 \mathbf{v}_2 ホットバンドに帰属した。それらは FT では観測できていなかった。これは、レーザー分光と FT の感度の違いおよびボルツマン因子を考えれば説明できる。

【考察】図2に本研究で得られたNO3の低い振動状態のエネルギーを示す。

観測された 3v4 状態(エネル ギー1130 cm $^{-1}$)が A_1 ' であるこ とはK'=0において偶数のNのみが存在していることによ り確認した。励起電子状態 B²E'の振動基底状態からの LIFでは、基底電子状態の A2 振電状態への遷移が観測 される。この度検出された 1130 cm⁻¹ には LIF のスペクト ルは報告されていないので、 我々の帰属と矛盾はしない。 一方 3v4(A2')はエネルギーの 低い状態からの反発により 3v4 (A₁')より高くなるだろう。それゆ え Fukushima, Ishiwata⁴⁾によって観

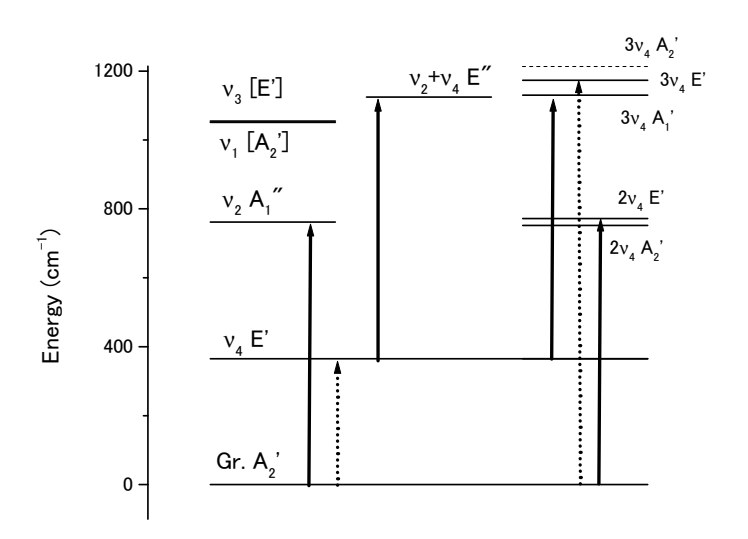


図 2 NO_3 の振動エネルギーと観測された遷移 (点線は Ref.1 他)

測された 1055 cm^{-1} のエネルギー状態を $3v_4(A_2')$ に帰属 $^{5)}$ することは無理である。LIF で観測されている 1214 cm^{-1} のエネルギーを持つ状態を、 $3v_4(A_2')$ と帰属するのが妥当である。

 v_2 =1 と v_4 =2 間の相互作用は非調和定数 Φ_{444} による波動関数の混合により起こるとして Φ_{444} =-342 cm⁻¹を報告した。その後、 v_3 =1 状態が 1055 cm⁻¹に存在することがレーザー励起スペクトルからわかった(これについては議論があるが、上記考察より 1055 cm⁻¹を v_4 =3 A_2 には帰属できないので残りは v_3 =1 しかない)。その状態と v_4 =2 の間の相互作用(Φ_{444} を含む)を考慮すると Φ_{444} =-91 cm⁻¹と Stanton⁶の理論予想値(-604 cm⁻¹)よりかなり小さな値になった。

 $3v_4(A_1')-v_4$ バンドの吸収強度はボルツマン因子で予想されるより大きいことがわかり、振電相互作用および非調和性による波動関数の混合による効果があることを示唆している。

【参考文献】

- ¹⁾R. Fujimori et al. J. Mol. Spectrosc. 283, 10 (2013).
- ²⁾T. Ishiwata et al. J. Chem. Phys. 82, 2196 (1985).
- ³⁾K. Kawaguchi et al. J. Mol. Spectrosc. 314, 73 (2015).
- ⁴⁾M. Fukushima and T. Ishiwata, 68th International Symposium on Molecular Spectroscopy, Columbus, Ohio (2013), Paper WJ03.
- ⁵⁾ E. Hirota J. Mol Spectrosc. 310, 99 (2015).
- ⁶⁾J. F. Stanton, Mol. Phys. 107, 1059 (2009).

2A02

NO3 フリーラジカルの電子基底状態振動帰属と振動電子相互作用 (広島市大) 福島勝、(総研大) 廣田榮治

[序]

硝酸ラジカル NO_3 の高分解能分光(LIF, IR diode, FTIR)研究は 1980 年代に始まり、振電基底状態の平衡構造:平面正三角形 D_{3h} 、基準振動数: v_1 =1060, v_2 =762, v_3 =1492, v_4 =365 cm⁻¹ などの基本事項が明らかにされた。もっとも強い赤外吸収 1492 cm⁻¹ バンドは v_3 (N-O 縮重伸縮振動)に帰属された 1 (Assignment I)。ところが 2007 年、Stanton 2 0 は ab initio 計算により v_3 が 1000 cm⁻¹ 付近にあることを見出し、Jacox らは 1492 cm⁻¹ バンドの帰属を v_3 + v_4 に変更した 3 0 (Assignment II)。川口、石渡ら (KI グループ) は、Assignment II が正しいとして、FTIR、LIF スペクトルを観測解析した。 4 0 しかし Hirota 5 1 は、彼らのスペクトル解釈には誤りがあり、Assignment I が正しいことを確認した。本研究では、最近の KI グループの反論 6 1 に対する批判と昨年提案した振電相 互作用モデルの精密化を報告する。

[振動帰属]

(1)Stanton の ab initio 計算 Stanton は 1 個のポテンシャルエネルギー曲面(PES) から v_3 などの調和振動数と振動の非調和定数を計算している。ところが、例えば $|k_{444}|$ =604 cm $^{-1}$ で、この値は、 NO_2 など関連分子のデータから予測した値 75 cm $^{-1}$ より一桁大きく、実測の ℓ -type doubling 定数 q_4 を再現しない。Stanton が主張した 1000 cm $^{-1}$ 付近の v_3 バンドは赤外吸収では観測されず、彼は振動遷移モーメントと振電相互作用の寄与の偶然相殺により説明している。しかし同一の PES から得られた振動の非調和定数の異常な値を見れば、この説明はもはや受け入れられない。 v_3 赤外吸収バンドは1000 cm $^{-1}$ 付近には存在しないと考えるのが妥当である。

Stanton v_3 バンドのもう一つの実験的検証は、福島、石渡 $^{7)}$ が観測した LIF からえられる。彼らは LIF によって $1000~\rm cm^{-1}$ 領域に存在する振動状態を Table 1 のように検出した。 v_1 の他に新しい (new) 状態が、 $^{14}\rm NO_3$ では v_1 の約 4 cm $^{-1}$ 上に、 $^{15}\rm NO_3$ では約 $14~\rm cm^{-1}$ 下に観測された。さらに重要なのは $^{14}\rm NO_3$ の v_1 が $^{15}\rm NO_3$ の v_1 より $1.5~\rm cm^{-1}$

低いことである。これらの観測事実は、v₁と

Table 1v1"new" (in cm-1)相互作用している「新しい状態」は Stanton の14NO31051.21055.3v3 ではありえないこと、すなわち彼の v3 は15NO31052.71038.6この領域に観測されていないことを明確に示している。福島、廣田は new 状態を 3v4 (a1)

成分)に帰属した。これに対し KI グループ 6 は、 $2v_1$ - $2v_3$ 共鳴 (Darling-Dennison type) を仮定して「新しい状態」を v_3 に帰属しようと試みているが、彼らの 14 N- 15 N 同位体シフトは v_1 基音での実測値-1.5 cm $^{-1}$ に対し $2v_1$ で-103 cm $^{-1}$ 、 v_3 基音での+17 cm $^{-1}$ に対して $2v_3$ で+135 cm $^{-1}$ という異常な準位構造を想定している。LIF 観測データは明らか

に 2v₁ ¹⁴N-¹⁵N 同位体シフト= +5 cm⁻¹ であり、この結果と全く相容れない。

(2) コリオリ相互作用 Assignment I では $Z(v_3)$ - v_4 に伴って観測される a'-e'を $2v_2-v_4$ に帰属した。KI グループ 6 は、 $2v_2$ からえられた B 回転定数が v_2 状態のものと "符号"しないことなどを理由に、この帰属を批判している。しかしながら 1) v_2 と $2v_4$ の間のコリオリ相互作用はいまだ完全には解析されていないこと、2) $2v_2$ は a' 対称性に属し、 $4v_4$, ℓ_4 =0 との混合は無視できないこと、などを考慮すると、この批判 は当たらない。Table 2 の慣性欠損はその一つの傍証である。 v_2 の実測値は計算値と大きくずれている。他方 $2v_2$ の実測値と計算値の差は $4v_4$ の混入によると考えられる。

Table 2. Obs* = $[obs\Delta - \Delta_0]/n$, Δ_0 (GS value)= 0.2148(54), n=1 and 2 for v_2 and $2v_2$, resp.

State	v_2	$2v_2$	v_4	In uÅ ²
Obs	$0.1410(77)^{4)}$	0.2846(57)	0.4443(49)	
Obs*	$-0.0664(80)^{4)}$	0.0324(39)	0.2295(88)	
Calc	0.0229	0.0229	0.1495	

(Calc は、基準振動数と ζ_3 =0.1912 を用いて得た force field から計算した値) 【振動電子相互作用(振電相互作用)】

Hirota⁵⁾は、Assignment I の基礎にたって、次の重要な実験的事実を指摘した。 NO_3 の電子基底状態は A_2 '対称、非縮重であるが、(1) 縮重振動励起状態の振動回転スペクトルの解析にはスピン・軌道相互作用項が不可欠であること、(2) これらの振動状態での1次のコリオリ相互作用定数の実測値は調和力場から計算した値と大きく異なること、(3) ところが v_4 , v_1+v_4 , v_3 , v_1+v_3 状態での有効スピン・軌道相互作用定数と1次のコリオリ結合定数の間には強い相関があること、これらの事実は、不対電子と振動の対称軸周りの角運動量が強く結合していることを示している。実際、振動基底状態での慣性欠損や遠心力歪定数の実測値も1次のコリオリ結合定数の実験値を用いて始めて再現される。不対電子の対称軸まわりの運動が骨格振動と強く結合しており、対称軸まわりの角運動量成分は電子・振動を合わせた $\overline{A} = A+\ell$ によってのみ指定できることを明確に示している。

以上見てきたように、 \overline{A} =±1、すなわち e '状態の回転構造にはいくつかの解析例がえられている。振電相互作用のモデルをより詳細に理解するには、 $2v_4$, $3v_4$ の回転構造を解析するのが一つの方策で、 $v_2/2v_4$, v_3/v_2+2v_4 コリオリ相互作用の解析を進めている。さらに $3v_4$ の回転構造の観測、解析を行うために非線形四波混合分光装置の製作を行っている。

[文献] ¹⁾ T. Ishiwata *et al.*, *J. Chem. Phys.* **82**, 2196 (1985); K. Kawaguchi *et al.*, *J. Chem. Phys.* **93**, 951 (1990). ²⁾J. F. Stanton, *J. Chem. Phys.* **126**, 134309 (2007); J. F. Stanton, *Mol. Phys.* **107**, 1059 (2009). ³⁾M. E. Jacox and W. E. Thompson, *J. Chem. Phys.* **129**, 204306 (2008); H. Beckers *et al.*, *ChemPhysChem* **10**, 706 (2009). ⁴⁾K. Kawaguchi *et al. J. Mol. Spectrosc.* **268**, 85 (2011); R. Fujimori *et al.*, *J. Mol. Spectrosc.* **283**, 10 (2013); K. Kawaguchi *et al.*, *J. Phys. Chem.* **A 117**, 13732 (2013). ⁵⁾E. Hirota, *J. Mol. Spectrosc.* **310**, 99 (2015). ⁶⁾K. Kawaguchi *et al.*, *J. Mol. Spectrosc.* **314**, 73 (2015). ⁷⁾M. Fukushima, T. Ishiwata, 68th International Symposium on Molecular Spectroscopy (2013), WJ03.

(広島市大 情報)

福島 勝、石渡 孝

Vibrational Structure of the \tilde{X} ²A₂' state of NO₃

(Hiroshima City Univ.) <u>Masaru Fukushima</u> and Takashi Ishiwata

【序】NO。は比較的簡単な窒素酸化物(NOx)であり、赤色領域に光吸収をもち、主に夜 の大気化学で重要なフリーラジカルとして知られている。このため、かなり以前より、光化学 および分光学などの多くの分野で興味がもたれてきた。 NO_{s} の $X^{2}A_{2}$ 状態は、赤外高分 解能分光から、その振動および回転構造の解析が進められ、分子構造が D_{3h} 対称性の 平面構造であるなど、かなりの情報が得られている [1] が、未解決の問題も多い。その1 つは v₃(非対称伸縮モード : e') 基音の帰属であり、従来からの 1,492 cm⁻¹ との帰属に 対して、分子軌道計算から 1,050 cm⁻¹ との説が提出され [2]、現在でも、大きな論争とな っている。我々は NO。を超音速自由噴流中に生成させ、その $B^2E'-X^2A_2'$ 電子遷移 にレーザー誘起ケイ光(LIF: Laser Induced Fluorescence) 法を適用し、単一振電準位か らの分散ケイ光スペクトルを測定し、その結果を基に、 X^2A_2 、状態の振動構造に関する研 究を進めてきた。その結果、 v_1 (全対称伸縮モード: a_1) 基音や v_4 (面内変角モード: e') プログレッションなど、1,800 cm⁻¹ 以下のエネルギー領域において、赤外高分解能分光 や分子軌道計算からの結果と矛盾ない振動構造の帰属が得られている。v3 基音に関して は 1,492 cm⁻¹ の帰属を支持する結果が得られている。v3 基音が 1,050 cm⁻¹ との説に対 応して、我々は v₁ 基音領域(1,050 cm⁻¹)の LIF 分散ケイ光スペクトルを 2 cm⁻¹ 程度の 分解能で測定し(通常は分解能 10 cm⁻¹ 程度)、この領域に v₁ 基音以外に v₁ 基音バ ンドに近い遷移強度をもつ振動準位が存在することを明らかにした [3]。さらに、この新た な準位は ¹⁴NO。では v1 の高エネルギー領域 (1,055 cm⁻¹) にあるのに対して、¹⁵NO。で は低領域に存在すること、および、v1 基音に関しては 14NO。と 15NO。の同位体シフトが - 2 cm⁻¹ 程度 (¹⁴NO₃ < ¹⁵NO₃) であり、通常とは逆のシフトであることも見出した。v₁ プロ グレッションの2倍音、および、3倍音準位においては、それぞれ + 4、および、+ 8 cm⁻¹ の 通常の"負"の同位体シフト(¹⁴NO3 > ¹5NO3) であることから、v1 基音の同位体シフトは、 常識的に期待される + 2.0 ~ + 2.5 cm⁻¹ 程度と推定され、- 2 cm⁻¹ の測定値は、明らか に異常である。このため、新たに確認された振動準位は a₁'対称性準位であり、v₁ 基音 (a_1) の異常な同位体シフトは、この a_1 準位と v_1 との Fermi 型の相互作用によるた め、と解釈した。この新たに確認された準位が v3 基音(e')であるなら、赤外活性である が、赤外高分解能分光では、この領域に振動バンドは観測されておらず、新たに確認され た振動準位が赤外不活性の a_1 対称性準位であることを支持している (なお、他の e準位のほとんどは、赤外吸収、および、ケイ光スペクトルの双方に観測されている)。

新たに観測された a_1 ' 対称性振動準位は、4つの振動数(ω_1 = 1,050 cm⁻¹、 ω_2 = 750 cm⁻¹、 ω_3 = 1,492 (~1,050) cm⁻¹、 ω_4 = 380 cm⁻¹)を考慮すると、 v_4 振動モードの3倍音 $3v_4$ (a_1 ')への帰属以外、可能性はない。 D_{3h} 対称性分子の非縮退電子状態(NO_3 の X^2A_2 ' 状態)の非縮退振動モードの3倍音は、 $I=\pm 3$ の a_1 ' と a_2 ' の2準位、および、 $I=\pm 1$ の e' の3つの準位に分裂する。 v_4 の3倍音に関しては、e' 準位が 1,173 cm⁻¹、さらに a_2 ' が 1,216 cm⁻¹ に観測されている [4]。新たに観測された a_1 ' 準位を $3v_4$ (a_1 ')と帰属すると、 a_1 ' と a_2 ' の分裂幅が 160 cm⁻¹ 程度となり、かなり異常である(通常、つま

り、振電相互作用などが無い非縮退電子状態の場合、この2準位に分裂はほとんど無い [5])。しかし、これら2つの準位の中心のエネルギー(1.135 cm⁻¹)は、2倍音の a₁² 準位 エネルギー (754 cm⁻¹) からの単純計算、2/3×(1135 cm⁻¹) = 756 cm⁻¹ と良い一致を示 し [6]、NO。の X^2A_2 状態の場合、この非縮退振動モードの3倍音 $3v_4$ に、何らかの相 互作用が起こっている可能性がある。本研究では、この相互作用に関して考察を行った。 【結果】 ${
m Hirota}$ は ${
m NO_3}$ の X ${
m ^2A_2}$ 状態において、不対電子の運動と縮退振動との間に 強い相関があるという実験事実に基づき、非縮退電子状態であっても、縮重振動の励起に より、電子軌道角運動量が生じ、 $K = \widetilde{\Lambda} + l$ ([6] では $\overline{\Lambda} = \Lambda + l$ と記述)が保存量 (良い量子数) となる説を提案した [6]。ここで、 $\widetilde{\Lambda}$ は縮重振動により生じる擬似的な電 子軌道角運動量である。この説によると、今回のシステムでは v4 の3倍音の1つの成分 $|K = +3; \tilde{\Lambda} = 0; \nu_4 = 3, l = +3$) は |+3; +1; 3, +2、|+3; +2; 3, +1) および |+3; +3; 3,0 > の3つの寄与をもつ。さらに、v4 の3倍音の他方 |-3; 0; 3,-3 > は $|-3;-1;3,-2\rangle$ 、 $|-3;-2;3,-1\rangle$ と $|-3;-3;3,0\rangle$ の3つの寄与をもつので、 | +3; 0; 3, +3 | と | -3; 0; 3, -3 | は、それぞれの前2つの成分間に対する6次の振電 相互作用(前2つの成分に対して、それぞれ $(q_+^2 Q_+^4 + q_-^2 Q_-^4)$ と $(q_+^4 Q_+^2 + q_-^2 Q_+^4)$ $q_-^4 Q_-^2$))をもつことになる。この6次の相互作用は3次振電相互作用の2次相互作用 (それぞれ $(q_+ Q_+^2 + q_- Q_-^2)^2$: Hirota 型 [7]、および、 $(q_+^2 Q_+ + q_-^2 Q_-)^2$: dynamical-Jahn-Teller型)ともみなせる相互作用である。振電相互作用の典型である Renner-Teller 相互作用の場合、6次相互作用は4次相互作用 $(q_+^2 Q_+^2 + q_-^2 Q_-^2)$ よ り弱いが、8次の相互作用 (q+4 Q+4 + q-4 Q-4) よりは強い。前者は 2∏ 電子状態の 直線分子に関して、振動準位(ω_a = 380 cm $^{-1}$)に匹敵する大きな分裂を生じ、後者は $^2\Delta$ 電子状態に対して、~ 10 cm⁻¹ 程度の分裂を生じることが知られている。したがって、今回 の ~ 160 cm-1 程度の分裂は、6次の振電相互作用と解釈可能である。3v4(a1)へのバ ンドの強い強度は、3v4 (a1) 準位がゼロ振動準位と上記 Hirota 型と dynamical-Jahn-Teller 型の振電相互作用が1次で可能であり、ゼロ振動準位の振動波動関数が $3v_4(a_1)$ 準位の関数に混じることが期待されるので、この v_1 基音に匹敵する強い強度は、 0-0 バンドの強度の一部と考えられる。 $3v_4(a_1)$ と $3v_4(a_2)$ 準位の波動関数の主な成分 は、それぞれ |+3;0;3,+3>+|-3;0;3,-3>と |+3;0;3,+3>-|-3;0;3,-3> で表され、前者は強度が倍になるものの、後者は打ち消されることになり、実験結果と矛盾 しない。ただし、上記 Hirota 型、および、dynamical-Jahn-Teller 型の振電相互作用の 定量的考察と、他の v4 準位での考察は検討段階にある。上記の解釈を確認するために、 現在、4 光波混合分光法による回転構造を分離したスペクトルの測定を試みている。

¹⁾ M.E. Jacox, "Vibrational and Electronic Energy Levels of Polyatomic Transient Molecules" in **NIST Chemistry WebBook, NIST Standard Reference Database Number 69**, Eds. P.J. Linstrom and W.G. Mallard, National Institute of Standards and Technology, Gaithersburg MD, 20899, http://webbook.nist.gov, (retrieved April 11, 2012).

²⁾ J. F. Stanton, J. Chem. Phys. **126**, 134309 (2007).

³⁾ 福島、石渡、第13回分子分光研究会 L17(2013)、第7回分子科学討論会 2A20(2013)、および、68th International Symposium on Molecular Spectroscopy, paper WJ03.

⁴⁾ K. Kawaguchi, private communication.

⁵⁾ T. Oka, J. Chem. Phys. **47**, 5410 (1967).

⁶⁾ E. Hirota, J. Mol. Spectrosco. **310**, 99 (2015).

⁷⁾ E. Hirota, K. Kawaguchi, T. Ishiwata, and I. Tanaka, J. Chem. Phys. 95, 771 (1991).

NO3および NO2の可視領域の高分解能レーザー分光

(神戸大分子フォト 1 、広島市大院情報 2 、総研大 3) 〇笠原 俊二 1 、多田 康平 1 、松原 瞳 1 、平田 通啓 1 、石渡 孝 2 、廣田 榮治 3

High-resolution laser spectroscopy of NO₃ and NO₂ radicals in visible region (Kobe University¹, Hiroshima City University², The Graduate University for Advanced Studies³)

OS. Kasahara¹, K. Tada¹, H. Matsubara¹, M. Hirata¹, T. Ishiwata², and E. Hirota³

【序論】硝酸ラジカル (NO₃) には、電子基底状態 X^2A_2' から約 2 eV の範囲に電子励起状態 A^2E'' , B^2E' が存在する。接近したこれら X, A, B の電子状態は互いに相互作用しうることから、NO₃ は状態間相互作用解明のモデルとして注目され、実験・計算の両面から詳細に研究されてきた[1-6]。我々は可視領域に存在する $B^2E' \leftarrow X^2A_2'$ 遷移に注目し、高分解能分光研究を進めてきた。15100 cm⁻¹付近に存在する $B^2E' \leftarrow X^2A_2'$ 遷移 0-0 バンドについては、高分解能蛍光励起スペクトルの観測と解析から相互作用についての知見を得た[7,8]。現在我々は 15860 -16050 cm⁻¹ に存在する NO_3 の振動励起 B 状態への遷移について高分解能分光研究を進めており、その実験結果を報告する。 NO_3 の $B^2E' \leftarrow X^2A_2'$ 遷移の高分解能スペクトルは複雑な回転構造をしており、回転線の帰属は困難である。回転線の帰属が容易なスペクトル観測を目指して、分子線を用いた二重共鳴分光法を試みた。またフローセルを用いた新たな NO_3 の分光システム構築も計画しており、現在は予備実験として NO_2 を用いたドップラーフリー偏光分光法を試みている。講演ではこれらの分光実験の結果も併せて報告したい。

【振動励起 B 状態の蛍光励起スペクトル】光源には Nd^{3+} : YVO_4 レーザー (Coherent Verdi-V10) 励起の単一モード波長可変色素レーザー (Coherent CR699-29、色素 DCM) を用いた。 N_2O_5 蒸

気と He を混合し、パルスノズルから真空チャンバー内に噴出した。ノズル直下に設置したヒーターで混合気体を約 300°C まで加熱し、 N_2O_5 の熱分解反応: $N_2O_5 \rightarrow NO_3 + NO_2$ により NO_3 を得た。その後、スキマーとスリットに通して並進方向の揃った分子線とした。分子線とレーザー光とを直交させて回転線のドップラー幅を抑え、高分解能蛍光励起スペクトルを観測した。観測した NO_3 のスペクトルの絶対波数は 0.0001 cm⁻¹ の精度で較正した。また、回転線のゼーマン分裂も観測した。

15860 – 16060 cm⁻¹の範囲でいくつかの領域について蛍光励起スペクトルを観測した。観測した蛍光励起スペクトルとその磁場効果の一例として、15872.4 cm⁻¹付近のものを図 1 に示す。この領域に 0.0243 cm⁻¹ の間隔で組となっている回転線が存在する。この間隔は基底状態 $X^2A_2'(v''=0,k''=0,N''=1,J''=0.5,1.5)$ の微細分裂の大きさと一致

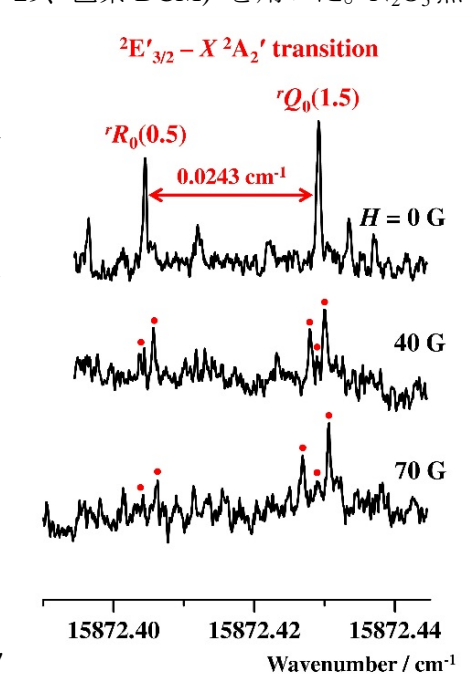


図 1. 蛍光励起スペクトルの一部と磁場効果 $(H/\!\!/E)$ 。 回転線の帰属は、 $^{\Delta t}\Delta J_k \cdot (J'')$ 。

する[1]。また、磁場ベクトルとレーザー偏光が平行な条件でゼーマン効果を観測すると、回転線が 2 本と 3 本に分裂した。これらの結果から、図 1 に示した回転線の組は ${}^2E'_{3/2}$ 励起状態の J'=1.5 への遷移だと帰属できた。このように基底状態の combination differences とゼーマン分裂とを併せて解析を進めている。

【光・光二重共鳴分光法の試み】二重共鳴分 光法の一つである蛍光ディップ分光法を分子 線と組み合わせることを考え、既に回転線の

帰属がなされている $B^2E' \leftarrow X^2A_2'$ 遷移 0-0 バンドで二重 共鳴スペクトルの観測を試みた。図 2 に実験配置、図 3 に実験のスキーム、図 4 に観測されたスペクトルを示す。まず第一のレーザー光(周波数 v_1)を入射し通常の励起スペクトルを観測した(図 4 (b))。その後 v_1 を 15100.2238 cm⁻¹: ($^2E'_{3/2}(J'=1.5) \leftarrow X^2A_2'(v''=0,J''=1.5)$ 遷移)に固定して蛍光強度をモニターした。その状況で、第二のレーザー光を

第一のレーザー光より $10 \, \mathrm{cm}$ 上流に入射して周波数 v_2 を掃引した (図 4 (a))。理想的には下準位 $X^2 A_2'$ (v'' = 0, J'' = 1.5) を共有する遷移が生じたときだけ蛍光 強度が減少するので、 $15100.2238 \, \mathrm{cm}^{-1}$ で蛍光のディップが観測されるはずだが、実際にはディップは見られなかった。図 4 (c) は比較として第一のレーザー光を入射せず、第二のレーザー光だけ入射して v_2 を掃引して観測した励起スペクトルである。図 4 (a) は、(b) の $15100.2238 \, \mathrm{cm}^{-1}$ の回転線の高さのバックグラウンドに (c) を足したものに見える。これは NO_3 の蛍光寿命が約 $300 \, \mu s$ と非常に長いために、第二のレーザー光の吸収に起因する蛍光も検出してしまったと解釈できる。 $(NO_3 \, i \, 10 \, \mathrm{cm}$ 飛行するのにおよそ $300 \, \mu s$ かかると見積もられた。)この結果から、図 2 に示した実験配置では $NO_3 \, o$ 二重共鳴スペ

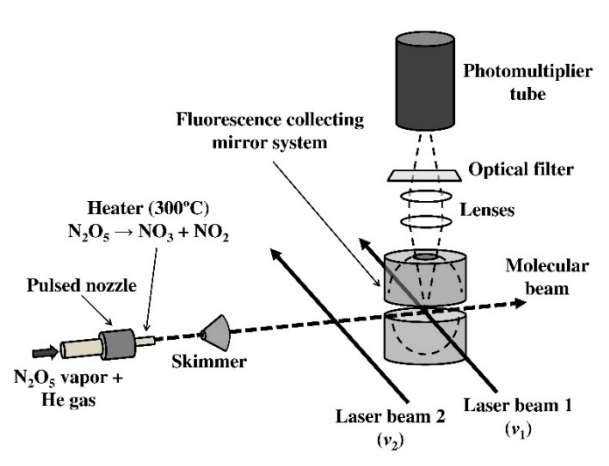


図 2. 分子線を用いた蛍光ディップ分光法の実験配置。

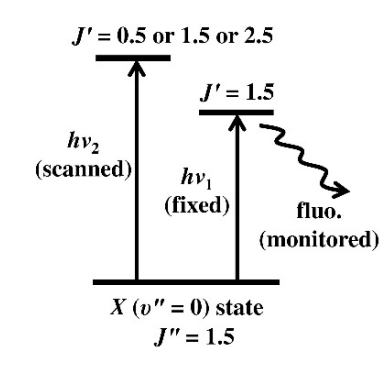


図 3. 蛍光ディップ分光法のスキーム。

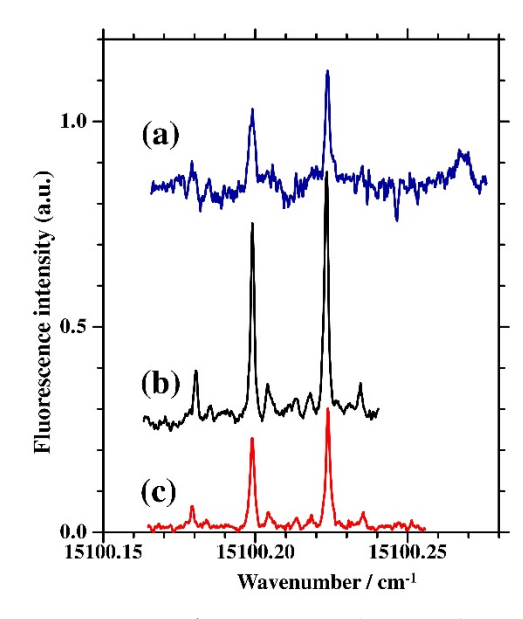


図4. 蛍光ディップ分光法の実験配置で観測した3種類のスペクトル (本文参照)。

クトル観測は困難だと分かった。そこで現在は分子線ではなくガスセルを用いた二重共鳴分光法を計画しており、予備実験として NO₂のドップラーフリー偏光分光法を試みている。

[1] Fujimori et al., J. Mol. Spectrosc. **283**, 10 (2013). [2] Kawaguchi et al., J. Phys. Chem. **A 117**, 13732 (2013). [3] Homayoon et al., J. Chem. Phys. **141**, 161104 (2014). [4] Hirota, J. Mol. Spectrosc. **310**, 99 (2015). [5] Codd et al., J. Chem. Phys. **142**, 184305 (2015). [6] Kawaguchi et al., J. Mol. Spectrosc. **314**, 73 (2015). [7] Tada et al., J. Chem. Phys. **141**, 184307 (2014). [8] Tada et al., J. Chem. Phys. **142**, 114302 (2015).

Infrared spectroscopic investigation of CH bond acidity in cationic alkanes

(Tohoku Univ.) OMin Xie, Yoshiyuki Matsuda, Asuka Fujii

[Introduction] CH bonds are the most ubiquitous functional group in organic compounds. CH in a neutral molecule is generally regarded as aprotic because of its low acidity. Recently, we have demonstrated the CH bonds in the cationic ethers [1, 2] and amines [3] are highly acidic. In these cations, the acidities of CH bonds are enhanced through the hyperconjugation of the CH bond with the nonbonding orbital which is the singly occupied molecular orbital (SOMO). Alkanes are composed only of carbon and hydrogen and have no nonbonding orbital. In the ionization process to their cationic ground state, a σ electron is ejected. For alkane cations, therefore, we have had a question whether their CH bonds undergo acidity enhancements without the nonbonding orbital or not. In this study, to investigate the CH bond acidity in alkane cations, we perform infrared (IR) spectroscopy of n-alkane cations with different alkyl chain lengths (pentane, hexane, and heptane).

[Experiments and Calculations] IR spectra of Ar- or N₂-tagged alkane cations were observed by IR predissociation spectroscopy of VUV-pumped ions. In this spectroscopy, the tagged alkane cations were generated through the VUV photoionization at 118 nm. We used a tandem-type quadrupole mass (Q-mass) spectrometer to perform IR dissociation spectroscopy. The generated tagged cations were size-selected through the first Q-mass filter. The IR predissociation spectrum of the size-selected cation was recorded by monitoring the bare cation intensity through the second Q-mass filter.

In theoretical calculations, all the stable conformers were initially searched by the global reaction route mapping (GRRM) program [4] at the PBE1PBE/6-31+G(d) level. The optimized structures, energies, vibrational spectra, nature bond orbital (NBO), and spin density analyses were calculated by the ω B97X-D functional with the 6-311++G(3df, 3pd) basis sets.

[Results and Discussion] Figure 1 shows (a) the observed IR spectrum of pentane cations and (b, c) the calculated IR spectra of the two stable conformers, tt and tg, depicted in the figure. Comparisons of the observed and calculated IR spectra indicate that the observed IR spectrum is attributed to the two conformers. The most intense band labeled by tt is assigned to the stretches of the in-plane (the plane is composed by the five carbon atoms) CH bonds in the

terminals of the tt conformer (highlighted by the green circles). The band at ~3000 cm⁻¹ is assigned to the stretch bands of the out-of-plane The two low frequency CH bands labeled by tg belong to the tg conformer. The lowest frequency band is assigned to the in-plane CH bond (highlighted by the purple circle) next to the out-of-plane methyl group, and the other band is assigned to the terminal in-plane CH bond (highlighted by the blue circle) of the tg These low frequency bands below 2850 cm⁻¹ indicate the acidity enhancement of the CH bonds occurs in cationic pentane. The CH bonds assigned to these low frequency bands are influenced by delocalization of the positive

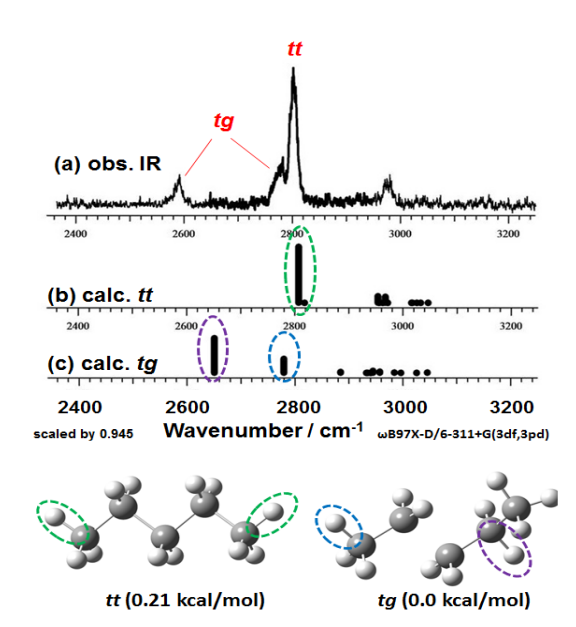


Figure 1 (a) The observed IR spectrum of pentane cations and the (b, c) the calculated IR spectra of the stable conformers shown the figure.

charge. Therefore, the C-H bonds are weakened and the enhancement of their acidities is also caused. The frequencies of the two low frequency bands of the tg conformer are lower than that of the intense tt band, which is the lowest CH stretch band in the tt conformer. This indicates that the CH bonds highlighted by the blue and purple circles in the tg conformer is more acidic than the in-plane CH bonds at the terminals of the tt conformer. Thus, the acidities of the CH bonds in the cationc pentane correlates with its conformation, which affects the delocalization of the positive charge.

We will discuss the detailed mechanisms of the acidity enhancement of the CH bonds in the cationic alkanes, the correlations between the CH bond acidities and conformations, and the dependence of the alkyl chain length on their acidity, based on the IR spectra and theoretical calculation results on preferable geometries, vibrational simulations, and spin density distributions.

[References]

- [1] M. Xie, Y. Matsuda, A. Fujii, J. Phys. Chem. A, 119, 5668 (2015).
- [2] Y. Matsuda, T. Endo, N. Mikami, A. Fujii, M. Morita, K. Takahashi, J. Phys. Chem. A, 119, 4885 (2015).
- [3] Y. Matsuda, Y. Nakayama, N. Mikami, A. Fujii, Phys. Chem. Chem. Phys. 16, 9619 (2014).
- [4] K. Ohno and S. Maeda, Chem. Phys. Lett. 384, 277 (2004).

置換トルエンの S₁ 状態における超共役の赤外分光による検証

(東北大院理)千葉崇、藤井朱鳥 (日大工)奥山克彦 Hyperconjugation in the S₁ state of substituted toluene probed by infrared spectroscopy (Graduate School of Science, Tohoku Univ.) Takashi Chiba, Asuka Fujii (College of Engineering, Nihon Univ.) Katsuhiko Okuyama

【序】分子内のメチル基については様々な分子に対してその内部回転ポテンシャルが測定され、ポテンシャル障壁の原因について以前から多くの議論がなされてきた。特にフルオロトルエンの場合、オルト体の電子基底状態(So)ではフッ素置換基とメチル基が近接しているために回転障壁が高いが、第1電子励起状態(Si)に励起するとこの障壁が著しく減少することが知られている。メタ体では逆に So 状態では自由回転に近い挙動を示すものの、S1 状態で障壁が大きく上昇する[1]。この回転障壁の奇妙な挙動の原因については、実験的にその現象が確認された当初から、S1 状態におけるメチル基と芳香環の超共役が示唆されてきたが、これまで超共役が実験的に確かめられた報告はない。本研究では超共役に直接対応する現象としてメチル基の CH 伸縮振動数に着目し、それをもとに回転障壁の原因を検証することを試みた。S1 状態においてこの振動数が基底状態に比べて低下することを振動分光によって観測できれば、それはメチル基の CH 結合の軌道と芳香環の軌道との超共役に対する直接的な証拠であると考えた。

【実験と計算】o、m、p-フルオロトルエンそれぞれを超音速ジェット法により真空槽中に噴出して冷却した。これに波長を S_1 - S_0 (0-0) 電子遷移波長に固定した紫外レーザー光を照射して、 S_1 状態のゼロ振動準位へ励起した。 20 ns 後に 2本目の紫外レーザー光を照射してイオン化し、質量選別の後にイオン量をモニターした。 I R レーザー光を 1 本目の紫外レーザーよりも先に照射し波長を掃引すると、振動励起が起きた時に電子励起波長がずれることからイオン 1 R レーザー光を 1 本目と 1 本目と 1 本目と 1 本目と 1 本目と 1 本目と 1 本目の紫外レーザー照射のタイミングの間に照射し波長を掃引すると、振動励起が起きた時に無輻射遷移の確率が増大することからイオン 1 ない。これは 1 大態の赤外吸収スペクトルに対応する。これは 1 大態の赤外吸収スペクトルに対応する。これは 1 大態の赤外吸収スペクトルに対応する。量子化学計算により、実験対象とした分子の 1 大態と 1 大態の構造最適化および振動数計算を行った。 1 大態は 1 大能に構造最適化および振動数計算を行った。 1 大態は 1 大能に対応する。

【結果と考察】図1にm-フルオロトルエンの S_0 状態と S_1 状態の赤外スペクトルを示す。得られたスペクトルには非調和共鳴に由来するバンドの分裂が多数観測されるが、強度の大きいバンドの周辺に分裂前のバンドがあると考え、調和振動計算の結果からおおよそのバンドの帰属を行った。図1に S_0 状態と S_1 状態それぞれのメチル基の三つの伸縮振動モードsym、asym1、asym2の帰属を示す。スペクトルから、基底状態において近接していたこれらの振動モードのうち、sym、asym1 伸縮振動が S_1 状態において、大きく低波数側へシフトすることがわかった。オルト体でも同様のシフトが見られたが、パラ体では見られなかったことから、オルト体とメタ体では励起状態においてsym、asym1 振動モードに寄与する S_1 CH が芳香環との間に超共役が起こっていると考えた。このシフトの原因を詳しく考察するために、中井らにより提唱された π^* - σ^* 超共役の理論

を援用する[2]。この理論によれば、m-フルオロトルエンのメチル基はS1状態 において、1本のCH 結合を芳香環と 同一面内に持ち、残りの2本が面外へ と突き出る構造を取る。このうち後者 の2本のCH結合のσ*軌道が芳香環の π*軌道と超共役して S1 状態を安定化 し、回転障壁へ大きく寄与するとして いる。そこで量子化学計算により励起 状態における構造と振動モードを調べ たところ、m-フルオロトルエンの sym、 asym1 伸縮振動モードに寄与する CH 結合は中井らの理論における $\pi^{*-}\sigma^{*}$ 超 共役に関与する面外に張り出したCH 結合であり、asym2に寄与する CH は 超共役に関与しない面内の CH 結合で

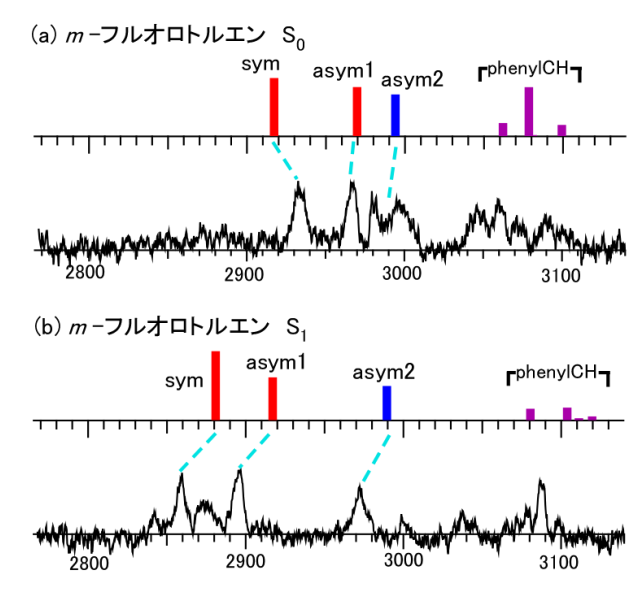


図 1 m-フルオロトルエンの(a) S_0 状態 (b) S_1 状態における赤外スペクトル。

あることが分かった(図 2)。このことから、実験で得られた電子励起に伴うバンドシフトは、 超共役に関与する面外に張り出した CH 結合の σ *軌道に電子が流れ込んで結合が弱くなり、sym、asym1 振動の振動数が低下したためであると説明することが出来る。同様の説明がオルト体のス

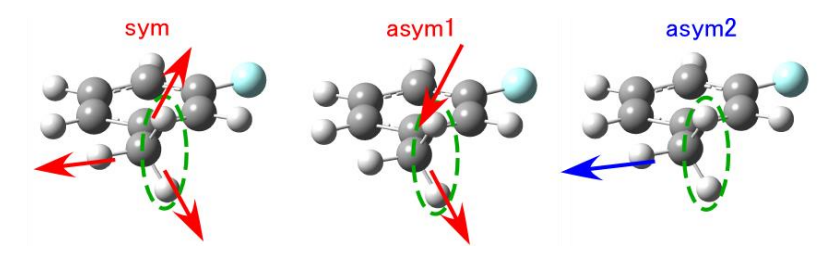


図 2 m-フルオロトルエンのメチル基の伸縮振動モード。 超共役に関与する CH 結合を点線で囲んだ。

ペクトルに対しても適用できた。本研究の結果は、中井らによる回転障壁を説明する超共役の理論を支持し、超共役が回転障壁の挙動に寄与していることを実験的に証明した。講演では超共役の強さとシフトの大きさ、パラ体における超共役の効果も合わせて報告し、より詳細な議論を行う。

【参考文献】

- [1] K. Okuyama, N. Mikami, M. Ito, J. Phys. Chem. 1985, 89, 5617-5625.
- [2] H. Nakai, M. Kawai, Chem. Phys. Lett. 1999, 307, 272–276.

クリーギー中間体 CH₂OO と水との反応生成物、 ヒドロキシメチル過酸化水素のマイクロ波分光

(東大院総合)○中島正和,遠藤泰樹

Microwave spectroscopy of hydroxymethyl hydroperoxide, a product of the reaction between CH₂OO and water

(Univ. Tokyo) OMasakazu Nakajima, Yasuki Endo

【序】アルケンの対流圏中での消失過程として重要な反応の一つにオゾン分解が挙げられる.この反応ではクリーギー中間体と呼ばれる酸化カルボニル (R_1R_2COO) が生成すると考えられているが、オゾン分解反応は発熱性が高く、大きな余剰エネルギーを持って生成された中間体は迅速に OH ラジカルを放出する. しかし、一部の中間体は大気中の分子との衝突で失活し、安定化する. この"安定化"クリーギー中間体は SO_2 や NO_2 に対して高い反応性を示すことから大気微量成分の酸化剤として注目されているが、その多くは大気中の水と反応して消失すると考えられている. 水蒸気を含んだ系におけるアルケンのオゾン分解反応の生成物分析ではヒドロキシアルキル過酸化水素 (HO-R-OOH) が検出される[1]ことから、これがクリーギー中間体と水との反応生成物であることが提唱されているが、オゾン分解反応の生成物分岐比等に多くの不確定要素が存在するために、その生成経路に関する決定的な証拠は得られていない.

分子軌道計算によって得られた,最も単純なクリーギー中間体 CH_2OO と H_2O との反応ポテンシャルダイアグラムを図 1 に示す.反応は $CH_2OO\cdots H_2O$ 錯体を経由し,最終的にヒドロキシメチル過酸化水素(HO- CH_2 -OOH, hydroxymethyl hydroperoxide; HMHP)が生成すると考えられる.マイクロ波分光を用いた我々の先行研究によって,超音速ジェット中での水錯体の形成は既に確認されている[2].今回我々は,錯体生成を確認した反応系と同一の条件下で HMHPのマイクロ波スペクトルの観測に初めて成功したので報告する.

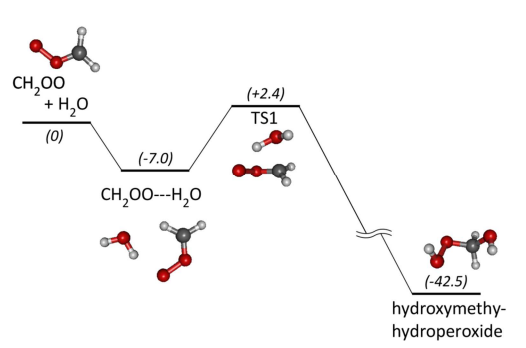


図 1 $CH_2OO + H_2O$ の反応ポテンシャルダイアグラム (B3LYP/aug-cc-pVTZ).

【実験】酸素をネオンで 1.0%に希釈したガスを CH_2I_2 で満たした液溜めに通過させることで、 $CH_2I_2/O_2/Ne$ の混合サンプルガスを得た. 更に、水で満たした別の液溜めを通過させて、サンプルガス中に水蒸気を導入した. このガスをパルス放電ノズルで放電し、真空チェンバー中に噴出することで、超音速ジェット中に CH_2OO を生成した. 実験では 6atm の O_2/Ne 混合ガスを用い、サンプルガス中の CH_2I_2 及び水の分圧は、それぞれ常温での飽和蒸気圧である. 純回転遷移の観測には Balle-Flygare タイプのフーリエ変換型マイクロ波 (FTMW) 分光器、および FTMW 分光器を用いたマイクロ波-マイクロ波-2 重共鳴分光法を用いた.

【結果と考察】HMHPのスペクトルの探査を行う前に、今回の実験条件下で CH_2OO および $CH_2OO\cdots H_2O$ 錯体の純回転遷移が十分強く観測されることを確認した。分子軌道計算で得られた HMHPの最安定コンホーメーション (図 2) での回転定数を基にしてスペクトルを探査することで、a,b,c全ての遷移タイプを含む計 21 本の純回転遷移を観測した。また、液溜めの水を重水で置換することで、 $HMHP-d_2$ (DO- CH_2 -OOD) の純回転スペクトルを得た。更に H_2O と D_2O を 1:1 で混合したサンプルを用いる

ことで、2種類の HMHP- d_1 (DO-CH₂-OOH および HO-CH₂-OOD) の純回転遷移を観測した.各同位体置換種の純回転スペクトルの例を図 3 に、決定した回転定数を表 1 に示す.HMHP は 1 重項分子であるため、重水で置換されていない場合には図 3(a)に示すようにドップラー分裂のみを示す.また、図 3(c)、(d)に示すように、重水素を一つだけ含んだ HMHP のスペクトルでは、重水素の核スピン (I=1) による分裂をはっきりと帰属できる.一方、HMHP- d_2 では 2 つの重水素の核四重極相互作用により複雑な超微細構造を示している.実験的に決定した HMHP およびそれらの重水素置換体の回転定数から、超音速ジェット中で観測された HMHP は理論計算の最安定コンホーメーションに一致することが確認された.

 H_2O/D_2O の混合サンプルを用いて観測される $HMHP-d_1$ の純回転遷移は、液溜めを D_2O のみで満たした場合には消失することが確認された.これは、今回観測した HMHP の-OH および-OOH 基の水素原子がどちらも水分子に由来していることを意味する.分子軌道計算で得られた反応の遷移状態(図 1 の TS1)について IRC 計算を行うことで、 CH_2OO と水との反応では水分子の OH 部分が CH_2OO の炭素と結合し、残りの H が末端の O 原子と結合することが分かる.したがって重水を用いた実験の結果は、今回観測された HMHP が CH_2OO と水との反応で生成されたことを強く支持している.

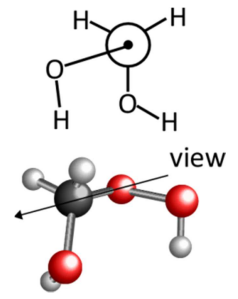
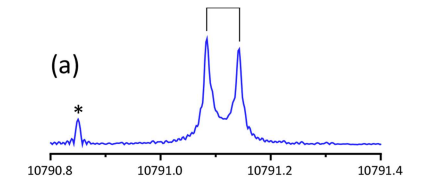


図2HMHPの最安定コンホーメーション.



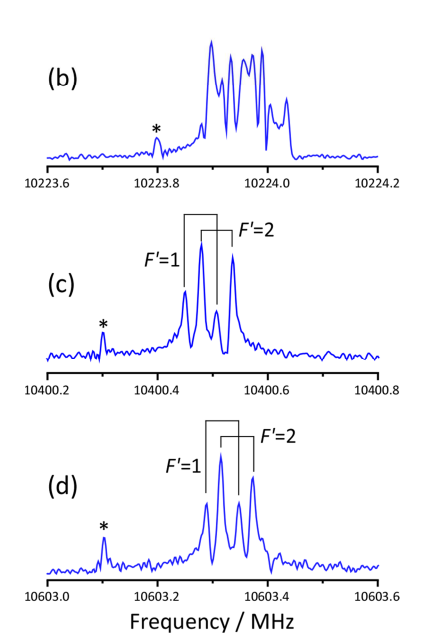


図 3 1_{01} – 0_{00} 遷移の FTMW スペクトル. (a) HMHP, (b) HMHP- d_2 , (c) HMHP- d_1 (DOCH $_2$ OOH), (d) HMHP- d_1 (HOCH $_2$ OOD). (ジェットとマイクロ波の進行方向は平行)

表 1 HMHP (HO-CH₂-OOH) および同位体置換体の回転定数 ^{a)}

	НМНР	DO-CH ₂ -OOD	DO-CH ₂ -OOH ^{b)}	HO-CH ₂ -OOD ^{b)}
A / MHz	17369.019(2)	15910.715(5)	16773.394(8)	16455.464(7)
B / MHz	5846.702(5)	5535.598(11)	5599.679(8)	5776.337(8)
C/MHz	4944.450(5)	4688.388(11)	4800.867(7)	4827.034(7)
観測遷移数/本	21	17	4	4

 $^{^{}a)}$ カッコ内は 1σ 誤差をあらわす。 $^{b)$ 遠心力ひずみ定数は HMHP と HMHP- d_2 の中間の値を仮定。

[1]たとえば C.N. Hewitt and G.L. Kok, *J. Atmos. Chem.* **12**, 181 (1991). [2]M. Nakajima and Y. Endo, *J. Chem. Phys.* **140**, 134302 (2014).

ハロゲン分子のイオン対状態間輻射緩和過程

(¹東理大院 総合化学, ²広島市大院 情報科学) ○星野 翔麻, ¹ 石渡 孝, ² 荒木 光典, ¹ 築山 光一 ¹

Radiative decay dynamics in the ion-pair states of halogen molecules

(¹Tokyo Univ. of Science, ²Hirosima City Univ.)

<u>Shoma Hoshino</u>, ¹ Takashi Ishiwata, ² Mitsunori Araki, ¹ and Koichi Tsukiyama ¹

【序】 ョウ素分子(I_2)のイオン対状態からの緩和過程に関しては、自然放射過程や衝突緩和過程などの報告が数多く存在する. これまで当研究室では、従来認識されてきたそれら緩和過程と同じ時間スケールで自然放射増幅光(Amplified Spontaneous Emission: ASE)による励起状態緩和過程が起こることを示し、ョウ素分子のイオン対状態間における ASE の重要性を提唱してきた[1, 2]. 本研究では、ョウ素分子以外のハロゲン分子のイオン対状態間においても ASE 過程が主要な緩和過程となり得るかを検証するために、臭素分子(Br_2)の $O_g^*(^1D_2)$ イオン対状態からの ASE 過程の検出を試みた.

【実験】 $Br_2 O 0_g^+ (^1D_2)$ イオン対状態への励起は価電子状態である $B^3\Pi(0_w^+)$ (v_B = 13)状態を中間状態とする光-光二重共鳴法により達成された. 励起光源には 2 台の Nd^{3+} :YAG レーザー (Continuum, Surelite I and Surelite II)励起の色素レーザー(Continuum, ND6000)を用いた. それぞれの励起光のエネルギーは Pump 光: 20 mJ/pulse, Probe 光: 1 mJ/pulse 程度である. これらのレーザー光を空間的に重ね合わせ、同位体選別された $^{79}Br_2$ を約 0.8 Torr で封入した石英セル(15 cm)に導光した. この過程でレーザー光軸上に発生した ASE を光学フィルターによりレーザー光と分離し、分光器(Acton Research Corporation, SpectraPro-275, f = 27.5 cm, 600 grooves/mm)で波長分散した後に赤外検出器(InfraRed Associates, IR-24-2.00)で検出した. また、レーザー光軸垂直方向に発生した紫外・可視領域の蛍光を分光器(Horiba/Jovin-Yvon、iHR320, f = 32 cm,

1800 grooves/mm)で波長分散した後に 光電子増倍管(Hamamatsu, R928)により 検出した.

【結果と考察】 $0_g^+(^1D_2)(v=0)$ 状態励起に際して観測された紫外蛍光の分散スペクトルを図 1に示す. 224-230 nm領域に観測される発光は $0_g^+(^3P_0) \rightarrow B^3\Pi$ (0_w^+) 遷移に帰属される. ここで注目すべきは, $0_g^+(^1D_2)$ 状態からの発光に加え, 190-224 nm領域に $0_w^+(^1D_2)$ イオン対状態からの非常に強い蛍光が観測されていることである. これは $0_g^+(^1D_2) \rightarrow 0_w^+$

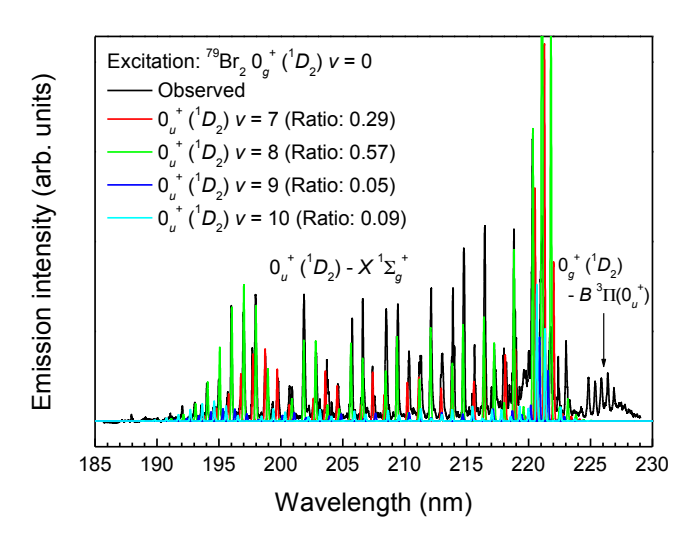
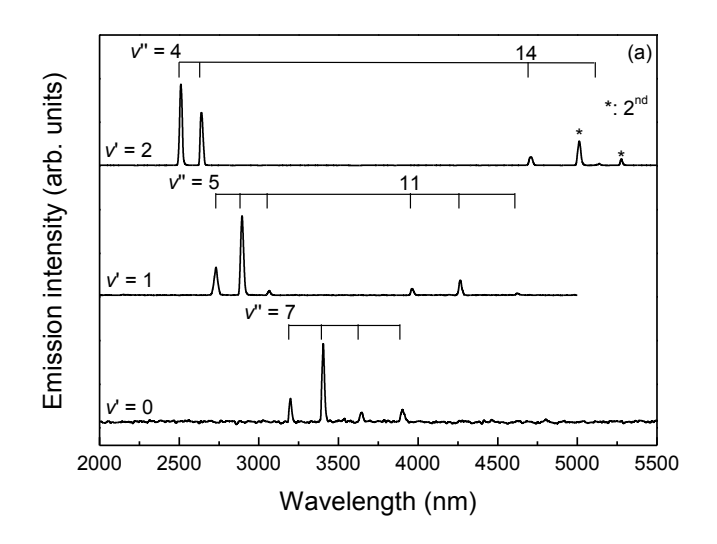


図 1. $0_g^+(^1D_2)$ (v=0)励起に際して観測される紫外蛍光分散スペクトル.

 $({}^{1}D_{2})$ の ASE による緩和過程が存在することを示している.

 $O_a^+(^1D_2)$ (v=0-2)状態からの赤外 発光を分光器に導入し,波長分散して 得られた ASE 分散スペクトルを図 2(a) に示す. 発光は 2.5 μm から 5.2 μm の領 域に観測された. 図 2(b)には $0^+_{\alpha}(^1D_2)$ (v= 0)からの赤外発光の高分解能分散ス ペクトルを示した. 発光は P, R branch を生じている. $\Delta J = \pm 1$ の回転選択律に 対応する全角運動量の分子軸成分Ωの 選択律 $\Delta\Omega$ = 0 と発光波長および Franck-Condon解析から、これらの遷移 は $0_g^+(^1D_2) \rightarrow 0_u^+(^1D_2)$ の平行遷移に帰属 された. ASE 分散スペクトルには Franck-Condon 的に有利な振動準位へ の発光のみが観測されている. 例えば、 $0_{\sigma}^{+}(^{1}D_{2})$ 状態の v=0 励起に際しては, 0_{σ}^{+} $(^{1}D_{2})$ 状態の v = 7 - 10 への発光が観測 されているが, $O_g^+(^1D_2)$ 状態の v=0 と O_u^+ $(^{1}D_{2})$ 状態の v = 7 - 10 との Franck-Condon 因子はそれぞれ 0.14, 0.18, 0.18, 0.15 と他の振動準位間と比 較して大きな値を有している.

Franck-Condon的な解析から、ASE によって生成した $0^+_u(^1D_2)$ 状態の振動分岐比を決定した. 例えばv=0励起に



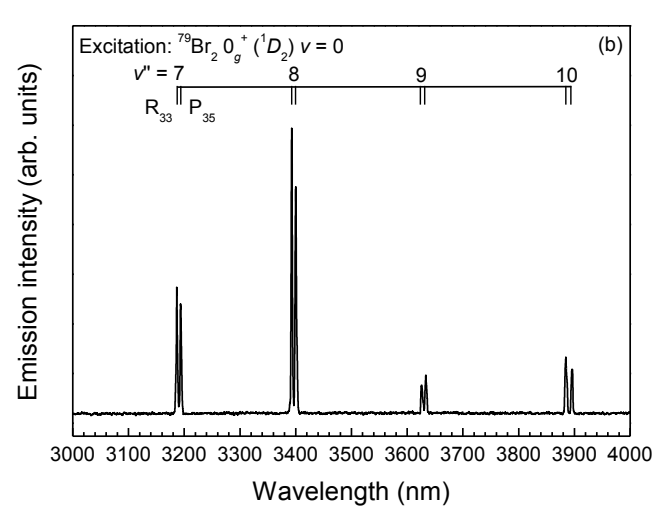


図 2. $0_g^+(^1D_2) \rightarrow 0_u^+(^1D_2)$ ASE 分散スペクトル. (a) 低分解能, (b) 高分解能. *は二次回折光.

際して観測された紫外分散スペクトルにおいては、 0_u^+ (1D_2)状態のv=7-10を0.29:0.57:0.05:0.09の比で混合したシミュレーション波形で良く再現されている(図 1). この振動分岐比は赤外分散スペクトルの強度比とも良く一致している.

以上の分光学的考察から、大きな遷移双極子モーメントを有するハロゲン分子のイオン対状態間の平行遷移においては増幅に必要な反転分布密度が低くなり、ASE が主要な緩和過程となり得ることが理解される. ASE 強度の蛍光寿命の観点からの解釈や、他のハロゲン分子のイオン対状態からの緩和過程については発表当日に詳しく議論する.

【参考文献】

- [1] S. Hoshino, M. Araki, H. Furukawa, S. C. Ross, and K. Tsukiyama, *J. Chem. Phys.* **138**, 104316 (2013)
- [2] S. Hoshino, M. Araki, and K. Tsukiyama, J. Chem. Phys. 140, 104309 (2014)

光周波数コムを周波数目盛としたナフタレンの高分解能分光

(電通大情報理工 1 , 福岡大理 2) 西山明子 1 , 中島一樹 2 , 松葉歩美 2 , \bigcirc 御園雅俊 2

High-resolution spectroscopy of naphthalene referenced to an optical frequency comb

(UEC¹, Fukuoka Univ.²) A. Nishiyama¹, K. Nakashima², A. Matsuba², OM. Misono²

【序】 多原子分子の電子励起状態には、状態間の興味深い相互作用が存在することが知られている。これらは電子振動回転スペクトルの微小なシフトや線幅の変化として現れるため、高分解能分光による精密計測が有効な研究手段である。我々はこれまでに、光周波数コムを用いた周波数計測システムを開発し、ヨウ素分子やナフタレンの高分解能スペクトルの測定を行ってきた。とくに、ナフタレンについては、 $S_1 \leftarrow S_0$ の2光子遷移を測定して励起状態の分子定数を決定し、ダイナミクスの解明を行ってきた。しかしながら、求めた分子定数の不確かさは基底状態の分子定数の文献値に制限されていた。今回は、より小さい不確かさで基底状態の分子定数を求めるため、これまでと ΔJ および ΔK_a が異なる2光子遷移を測定し、解析を行った。

【実験】 本研究の実験システムを図 1 に示す。分光光源としては単一モードの連続発振色素レーザーを用いた。色素は Rhodamine 6G を使用し、波長約 596 nm において、線幅は約 130 kHz、パワーは約 1.3 W であった。ファブリー・ペロー型光共振器内に、無反射コーティングを施したサンプルセルを設置して蛍光を観測した。今回測定した遷移では、円偏光に対する遷移強度は、直線偏光に対する遷移強度の 1.5 倍となるので、サンプルに入射する光の偏光を円偏光とした。光共振器の共鳴周波数は色素レーザー光の周波数に Pound-Drever-Hall 法によってロックした。

また、色素レーザー光の一部を分岐し、Ti: Sapphire コムを利用して周波数を測定した。ビート周波数がほぼ一定となるように音響光学変調器によるシフト周波数を制御することで、本測定における不確かさに相当する量を見積もることができる[1]。

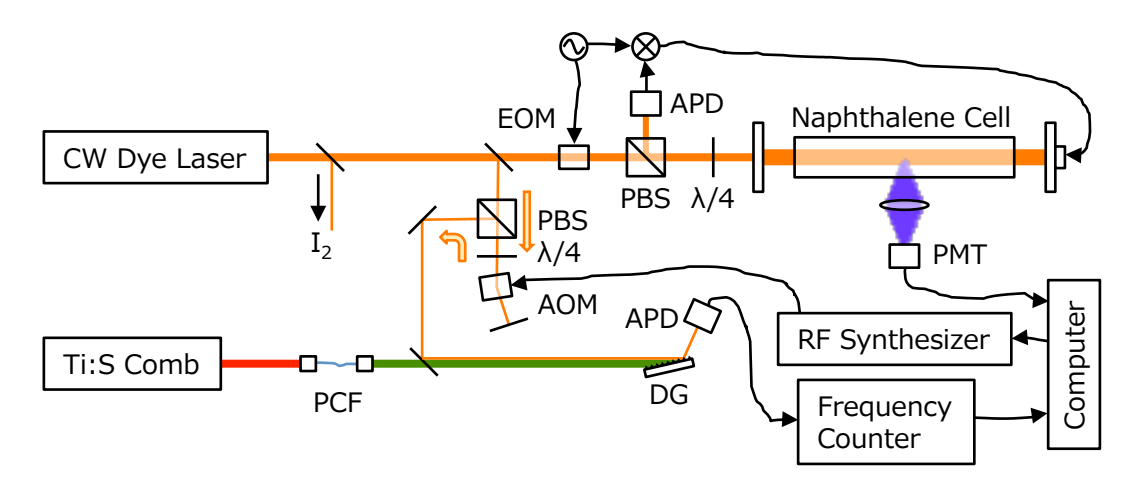


図 1. 実験システム。EOM:電気光学変調器、APD:アヴァランシェ・フォトダイオード、PBS:偏光ビームスプリッター、PMT:光電子増倍管、AOM:音響光学変調器、PCF:フォトニック結晶ファイバー、DG:回折格子。

【結果】 ナフタレン $S_1B_{1u}(v_4=1) \leftarrow S_0A_g(v=0)$ 遷移のうち、バンドオリジンよりも高波数側にある 2 光子遷移を測定した。ナフタレンのような非対称コマ分子の 2 光子遷移では、 ΔK_a について 3 通り、 ΔJ について 5 通りが許容であるので、全部で 15 通りの遷移が可能である。今回は、33579.86 cm⁻¹ から 33584.37 cm⁻¹ の範囲の測定を行った。この領域では QS , SQ , および SR 遷移が主としてみられる。ここで、 QS は $\Delta K_a=0$, $\Delta J=+2$ 、 SQ は $\Delta K_a=+2$, $\Delta J=0$ 、 SR は $\Delta K_a=+2$, $\Delta J=1$ の遷移を表す。図 2 に、測定例として、33580.15 cm⁻¹ から 33580.18 cm⁻¹ のスペクトルを示した。横軸は図 1 に示した周波数計測システムによって校正した。 QS 遷移について J=12-28、 $K_a=0-28$ のうち 600 本、 SQ 遷移について J=9-30、 $K_a=0-28$ のうち 73 本、 SR 遷移について J=6-29、 $K_a=0-28$ のうち 40 本を帰属することができた。現在、これらのうち、とくに QS 遷移について、これまでに報告した QQ 遷移とあわせてコンビネーションディファレンスによる解析を行い、基底状態の分子定数を求めている。

[1] A. Nishiyama, et. al., Opt. Lett. 39, 4923 (2014).

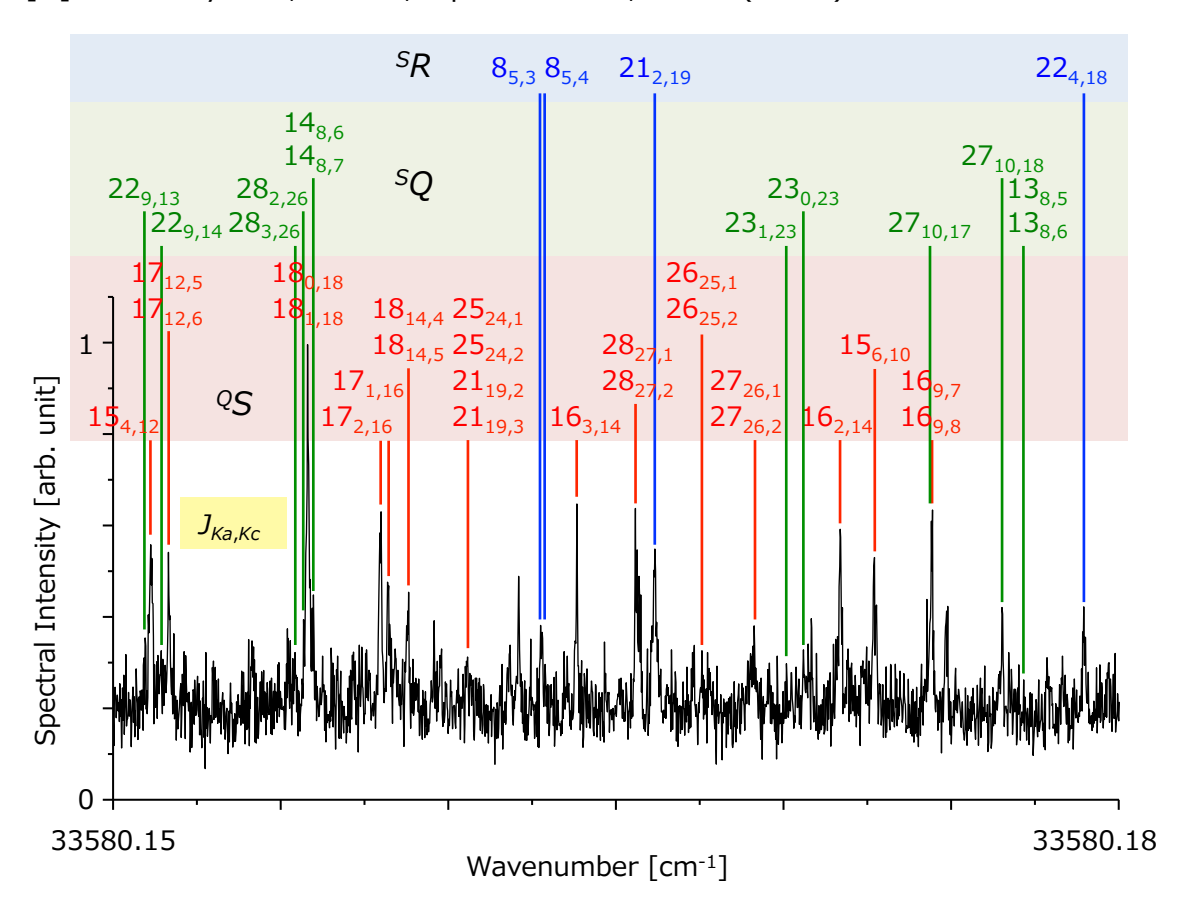


図 2. 測定したスペクトルの 1 部とその帰属。

cw-OPO レーザーによる CH₃Br 分子の Lamb dip 分光と圧力幅測定 (岡山大院・自然) ○藤山朋己, 瀧原健一郎, 川口建太郎, 唐健

Lamb dip spectroscopy of CH₃Br and pressure broadening measurements using a cw-OPO laser

(Okayama Univ.) OTomomi Fujiyama, Kenichiro Takihara, Kentaro Kawaguchi, Jian Tang

【序】 CH_3Br は C_{3v} に属する対称コマの分子で、6 つの基準振動をもつ。cw-OPO レーザーは 3 μ m 帯で 300mW 以上の高い出力を得ることができ、飽和分光が可能になった。本研究では、 CH_3Br の v_1 及び v_4 バンドの Lamb dip 分光に適用し、超微細構造定数を決定したので報告する。

 v_4 遷移強度は v_1 に比べて 1/3 程なので、 v_4 一光強度を強くすれば v_4 でも Lamb dip が観測できると期待されたが、できなかった。理由として、 v_4 =1 は v_1 =1 より 100cm⁻¹程エネルギーが高いので、振動回転準位の密度が高くなり、それらへのエネルギー移動が促進されると考えられる。そこで、圧力を変化させることにより、圧力幅係数を決定した。

【実験】Lamb dip は、(1)White 型長光路セルで の光路の重なりにより、また、(2)シュタルク変調 法により観測した。その装置図を Fig 1 に示す。 光源は赤外 cw-OPO レーザーを用いた。レーザー 光は焦点距離 100cm の CaF₂ レンズでシュタルク セルの中心で焦点を結んだ。シュタルク効果を引 き起こすための電極は2枚のアルミプレートを間 隔 0.5cm で平行に置いた。シュタルクセルへの入 射光はセルを通過後にミラーで反射され、進行方 向は逆だが同じ pass を通り、その後ビームスプ リッターで反射された光が検出器にいくようにな っている。レーザー周波数は共振器の中の1つの ミラーについている PZT に電圧を印加すること により掃引した。PZT は5Hz で掃引し、オシロス コープで信号を表示し、データを取得した。シュ タルク電極には 100kHz の短形波を 0V からある 電圧までかけ、信号はロックインアンプで検出し た。レーザーの温度を 61.3℃にし、2974.4~ 2975.5cm⁻¹付近で波長計を見ながら変えて、Lamb dipsを観測した。

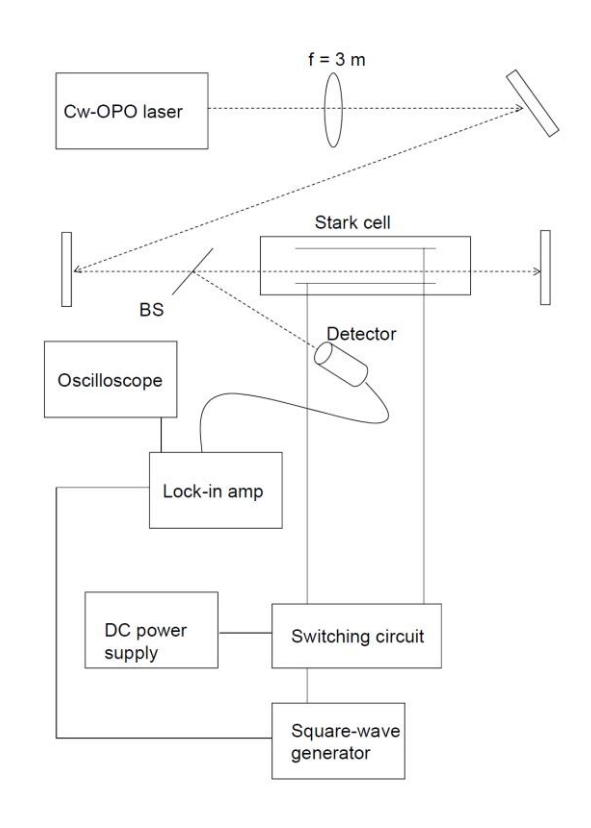


Fig 1 装置図(シュタルク変調)

圧力幅測定では、同じ赤外 cw-OPO レーザーと、長さ 1.2m の Pyrex glass tube を吸収セルとして用いた。検出器は、MCT detector(Vigo PVI-3TE-4, 20 ns time constant) で、

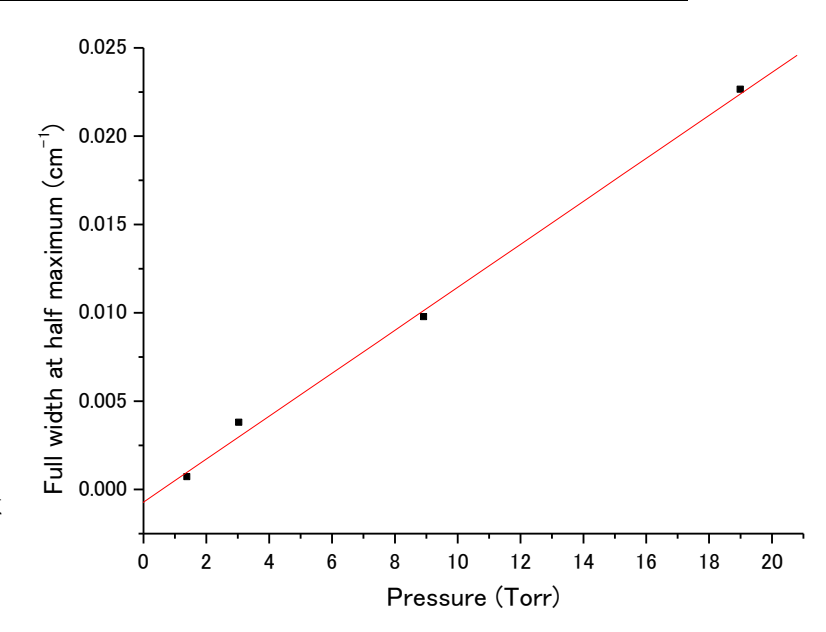
preamplifier(MIPDC-F-100) が内蔵されたものを用いた。チョッパーでロックインアンプを用いて信号を得た。測定の結果は Labview で表示し、データを取得した。レーザー温度を 95.2° にし、 $3079.68 \sim 3079.90 \text{cm}^{-1}$ 付近を測定した。

【解析結果】帰属した Lamb dips を Table 1 で示す。取得し帰属したデータを最小二乗法によって、超微細構造定数 eqQを決定した。遷移波数は、論文のデータより計算した値を用いた。

Table 1 CH₃Br の v₁バンドの Lamb dips の分裂幅

		$ m CH_3^{79}Br$		$ m CH_3^{81}Br$	
遷移	F	obs.	obscalc.	obs.	obscalc.
$^{Q}R_{0}(3)$	5.5←4.5−2.5←1.5	16.4	-0.08	_	_
$QR_0(4)$	6.5 \(-5.5 - 4.5 \(-3.5 \)	10.4	0.09	_	_
$QR_{1}(3)$	5.5←4.5 − 2.5←1.5	8.0	0.70	6.4	0.23
	$2.5 \leftarrow 1.5 - 4.5 \leftarrow 3.5$	7.8	-0.01	6.5	0.52
	4.5←3.5−3.5←2.5	8.0	0.73	6.4	0.20
$QR_1(4)$	$6.5 \leftarrow 5.5 - 5.5 \leftarrow 4.5$	7.9	0.04	6.4	_
	5.5 \(-4.5 - 4.5 \(-3.5 \)	6.7	0.46	6.0	0.61
$QR_3(5)$	$7.5 \leftarrow 6.5 - 6.5 \leftarrow 5.5$	36.0	1.11	_	_
	5.5 \(-4.5 - 6.5 \(-5.5 \)	7.0	1.11	_	_
${}^{\mathrm{Q}}\mathrm{R}_{4}(7)$	9.5←8.5−8.5←7.5	_	_	22.0	1.13
$QR_4(8)$	10.5 - 9.5 - 9.5 - 8.5	20.0	-0.75	18.0	1.69
	eqQ/MHz		577(1)		484(2)

次に、圧力幅で得られたデータを Voigt profile により解析をした。 ν_4 バンドの均一幅の圧力依存の結果を Fig 2 で示す。線形フィット y=A+Bxから、A=-0.0007(8) cm $^{-1}$ 、B=0.00122(5) cm $^{-1}$ / Torr が得られ、標準偏差は 6.6×10^{-4} cm $^{-1}$ であった。よって、 ν_4 バンドの圧力幅係数は、37(2) MHz/Torr である。 CH_3F では圧力幅係数で、21-32 MHz が報告されているので、



CH₃Br の値はそれより格段に

Fig 2 v4バンドの振動回転遷移の圧力幅

大きくなかった。 v_4 バンドで Lamb dip が見えない理由は、分子間衝突緩和ではなく、また遷移モーメントの違いによるものではないと言える。

【参考文献】

A. G. Cartlidge and R. J. Butcher, J Phys. B: At. Mol. Opt. Phys. 23 (1990) 2083-2090